

Zakład Badawczo Leczniczy Chorób Nerwowo – Mięśniowych
Instytut Medycyny Doświadczalnej i Klinicznej PAN
ul. Pawińskiego 5, 02-106 Warszawa
Tel/ fax /4822/ 608 65 26

Badanie wycinka mięśniowego w mikroskopie świetlnym i elektronowym

Nr: 31/14

Imię i nazwisko :

Wiek: 20

Rozpoznanie: Podejrzenie dystrofii kończynowo-obrzęzowej

Data pobrania wycinka: 9 VII 2014r.

Mięsień: quadriceps sin.

Barwienie: H-E, trichrom Gomoriego, DHB, DHM, DPNH, ATP-azy

W pobranym wycinku dominuje tkanka tłuszczowa i tkanka łączna w obrębie tkanki widoczne bardzo nieliczne włókna o różnej średnicy tworzące małe skupiska. Podział włókien na typy metaboliczne w barwieniu dehydrogenazami wykazuje tylko 1 typ aktywności „pośredni”, analogiczne zjawisko w barwieniu ATP-azami.

Wnioski: znaczny ubytek włókien mięśniowych z rozrostem tkanki łącznej uniemożliwia diagnostykę defektu morfologicznego.

Analiza ultrastrukturalna wykazała obecność regenerujących pojedynczych włókien w okresie miotuby. Włókna o prawidłowej średnicy i strukturze sarkomerów wykazują zmiany w strukturze kanałów siatki sarkoplazmatycznej z tendencją do kolistego ich układu.

Wnioski: duży ubytek komórek mięśniowych, rozrost tkanki łącznej, obecność zmian w układzie siatki sarkoplazmatycznej mogą sugerować ~~dyskopatię~~ typu 1C – kaveolinopatia?

*dystrofia
mięśni*

Prof. dr hab. A. Fidziańska - Dolot

4714926
Prof. dr hab. med.
Anna Fidziańska-Dolot
specjalista neu. olog
02-758 Warszawa
ul. Neseberska 3 m. 41

Fidziańska-Dolot

Przypadek: Nr 31/14

Rozpoznanie: Podejrzenie dystrofii kończynowo-obręczowej

Fig 1, 2, 3, 4. Ubytek komórek mięśniowych oraz rozrost tkanki łącznej

Fig. 5. Zmiany w strukturze kanałów siateczki sarkoplazmatycznej z tendencją do układu kolistego

Summary

A 20-year-old patient with suspected limb-girdle dystrophy was examined. A biopsy of *quadriceps sinister* was performed. Electronmicroscopy analysis revealed the presence of muscle cell loss and connective tissue growth (Figs. 1, 2, 3, 4). Changes in the structure of sarcoplasmic reticulum were observed (Fig. 5).

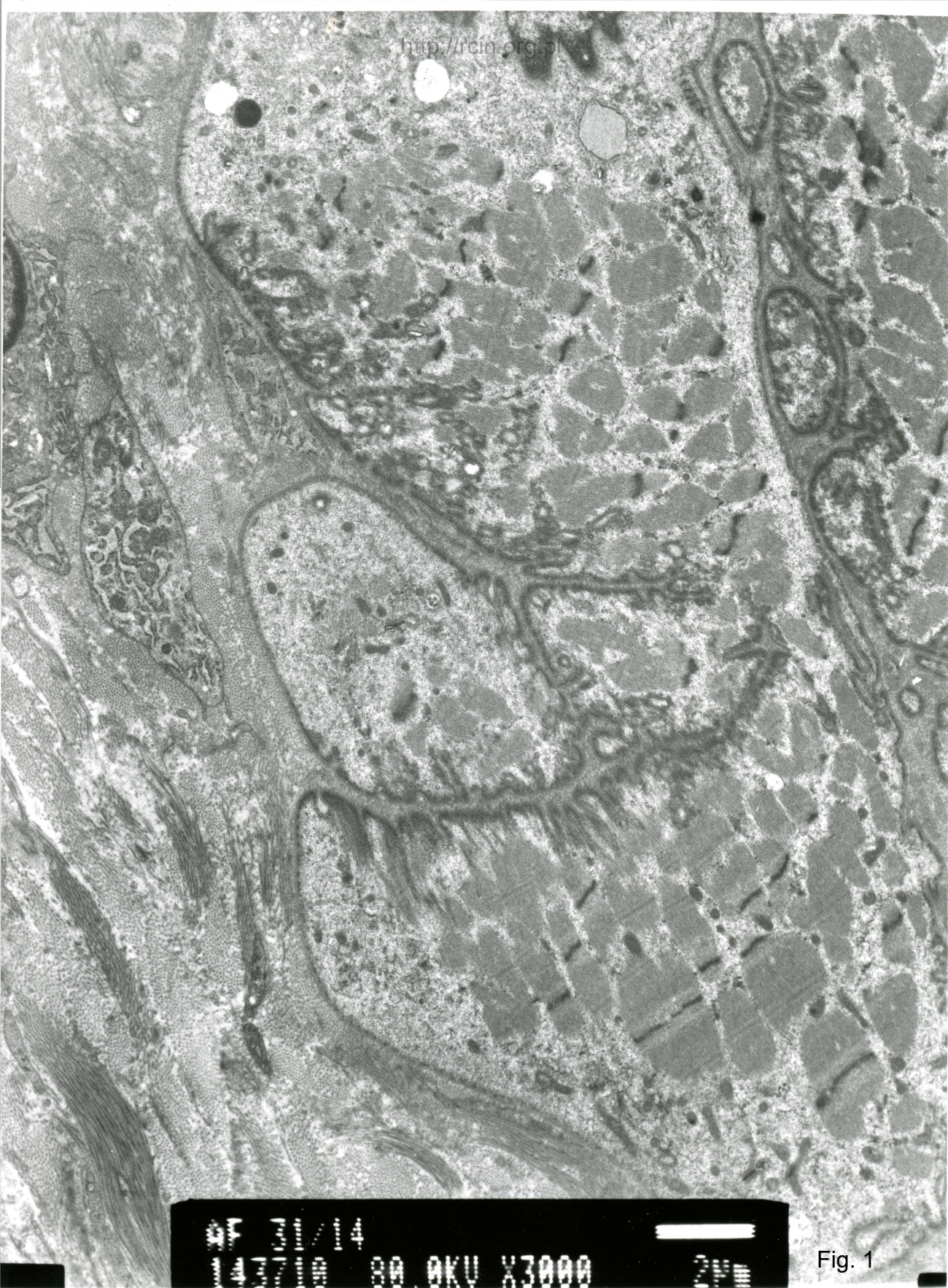


Fig. 1

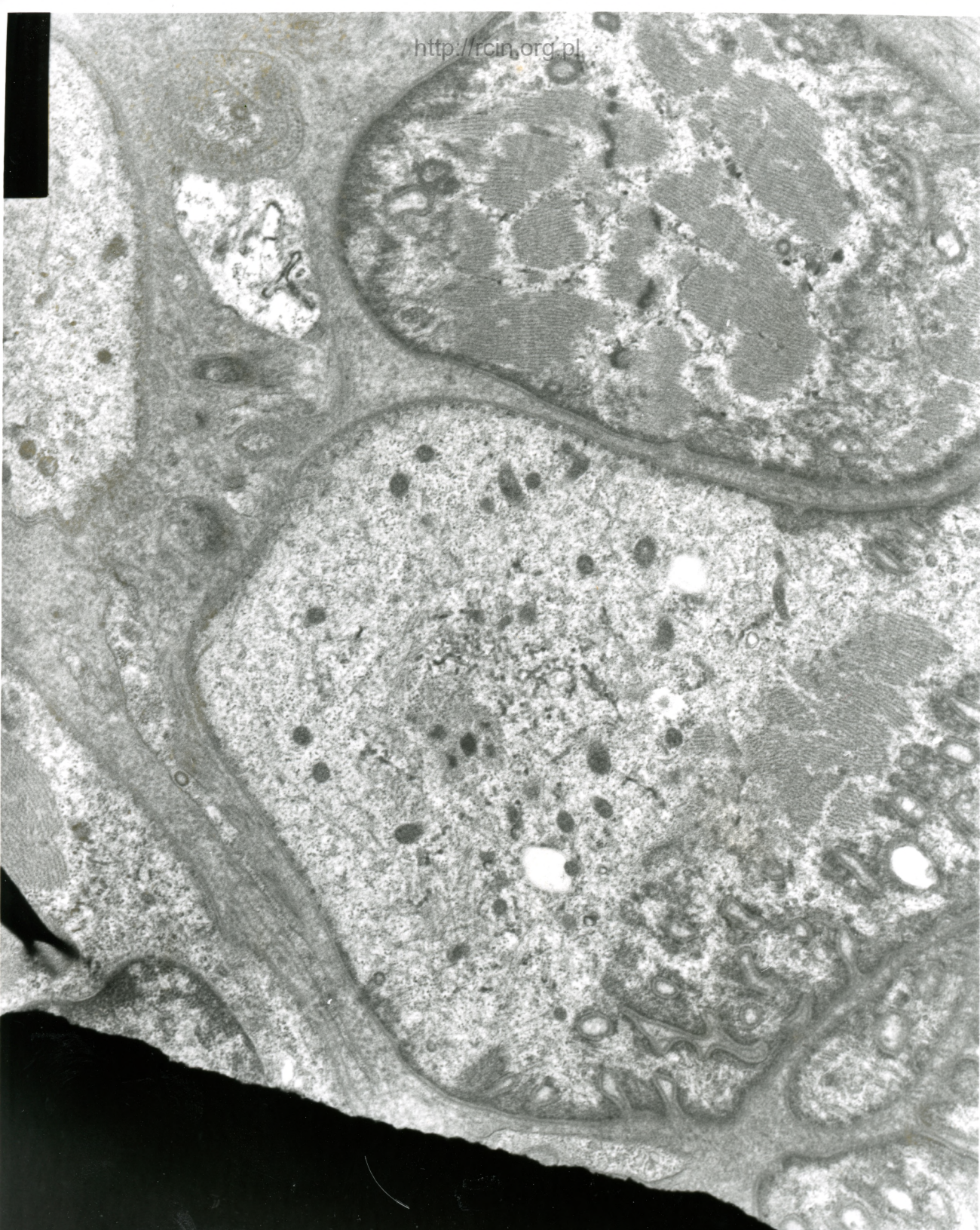
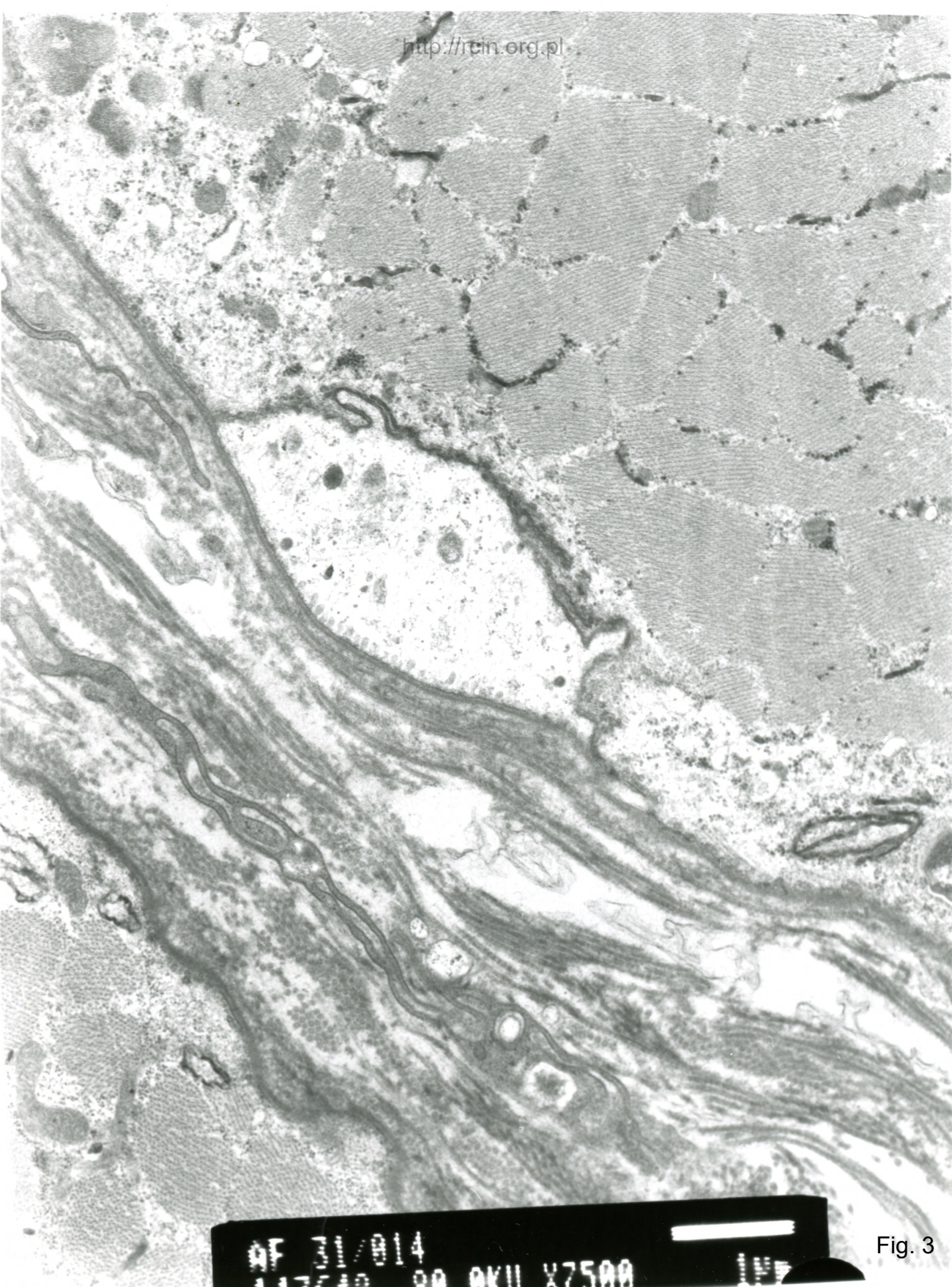


Fig. 2

90.0KV X6000



07 31/014
117549 80 OKU X7500 117

Fig. 3



MF 14
2 80.0KV X6000

Fig. 4

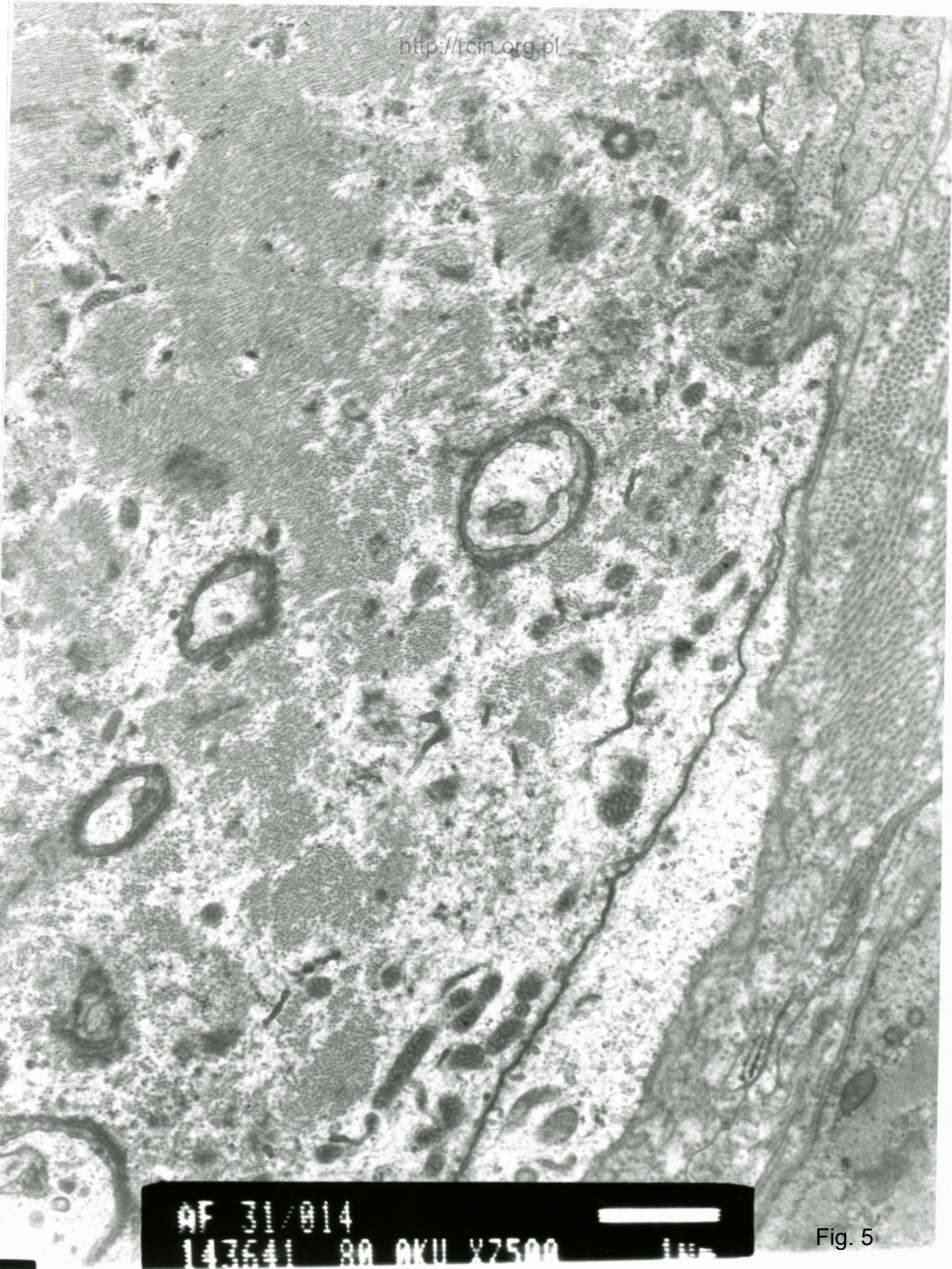


Fig. 5